

РАЗРАБОТКА МАТЕМАТИЧЕСКОЙ МОДЕЛИ ТЕЧЕНИЯ ГАЗА ДЛЯ ГРАДУИРОВОЧНОГО СТЕНДА ПРИЁМНИКОВ ПОЛНОГО И СТАТИЧЕСКОГО ДАВЛЕНИЯ

В работе предложена математическая модель расчета основных параметров контролируемого газового потока в процессе проектирования и создания градуировочного стенда для приемников статического и полного давлений, позволяющая до аттестации стенда выявить особенности и картину распределения этих параметров по радиусу и длине струи газового потока. Получение заданного контролируемого газового потока, в свою очередь, связано с расчетом и изготовлением сопла. В работе предложено использование дозвукового сопла, рассчитанного по формуле Витошинского, которое позволяет создавать в рабочей части градуировочного стенда заданную скорость газового потока в зависимости от расхода газа (рассмотрено три режима). Приведены результаты расчета таких параметров газового потока, как продольная скорость, статическое давление и статическая температура на разных расстояниях от среза сопла (на срезе сопла, на расстоянии $2R_a$, на расстоянии $5R_a$).

Ключевые слова: градуировочный стенд, сопло, математическая модель, профиль скорости.

Введение. Метрологическое обеспечение (МО) испытаний новых конструкций газотурбинных двигателей (ГТД) предусматривает обязательное измерение реальных скоростей газового потока (СГП) по тракту двигателя [1].

Материалы и методы решения задач. В настоящее время одним из основных методов измерения СГП, основанного на измерении перепада между полным и статическим давлением, используют приемники полного и статического давления, которые получили название «гребенки» [2].

Проблема использования такого метода измерения СГП связана с необходимостью изготовления оригинальных конструкций гребенок для каждой новой конструкции ГТД и места ее установки [2].

Для обеспечения высоких требований предъявляемых к точности измерения СГП, в том числе и по скосу и направлению потока [3], возникает необходимость наличия средств для градуировки таких гребенок с соответствующими погрешностями измерения основных параметров.

Одна из основных задач по разработке и созданию такого градуировочного стенда — это получение контролируемого газового потока (воздуха) с равномерной по значению относительной скоростью λ по радиусу струи газа как на срезе дозвукового сопла с λ от 0,3 до 1,0, так и по её длине.

Получение заданной СГП на срезе дозвукового сопла достигается за счет изменения расхода воздуха G_a через сопло. В данной работе представлена разработанная математическая модель истечения газового потока из дозвукового сопла при разных режимах по расходу воздуха. Максимальное значение расхода воздуха $G = 5$ кг/с, температура воздуха (от $+15$ до $+80$) °С.

Определение основных размеров сопла и его профиля, рассчитанного по формуле Витошинского [4] с учётом результатов исследований, проведённых в работе [5], подробно представлено в работе [2].

Определение основных размеров сопла градуировочного стенда связано с режимом истечения газового потока из сужающего сопла в рабочую камеру.

Режим истечения определяется газодинамической функцией $\pi(\lambda)$ от приведенной скорости потока λ следующим соотношением:

$$\pi(\lambda_c) = \frac{P_k}{P_c^*},$$

где P_k — давление в рабочей камере, P_c^* — полное давление потока на срезе сопла. Считается, что течение энергоизолированное и изоэнтропное, и па-

раметры торможения сохраняют постоянные значения, т.е.

$$T_c^* = T_k^* \quad \text{и} \quad P_c^* = C_k^* .$$

Критическое отношение давлений обеспечивает истечение со скоростью звука, т.е.

$$V_{скр} = a_{кр} \cdot \lambda_c^*$$

и в этом случае

$$G = G_{кр} = G_{max}^*$$

где $V_{скр}$ — критическая скорость потока на срезе сопла; $a_{кр}$ — скорость звука в критическом сечении; G — расход воздуха через градуировочный стенд.

Для воздуха $\pi(\lambda_{кр}^*) = 0,528$ при $\kappa = 1,4$; $\lambda_{кр}^* = 1$. Давление в рабочей камере градуировочного стенда должно превышать атмосферное в диапазоне от 0,15 до 0,20 кгс/см², чтобы преодолеть сопротивление выхлопной системы и шахты шумоглушения, следовательно

$$\frac{P_k^*}{P_{скр}^*} = 0,528, \quad \text{а} \quad P_{скр}^* = \frac{1,2}{0,528} = 2,273 \text{ кг/см}^2.$$

Максимальный расход воздуха при выбранном источнике сжатого воздуха составит $G_{max} = 5$ кг/с, давление торможения $P_{скр}^* = 2,27$ кгс/см². Зададимся температурой воздуха подаваемой компрессорной станцией, равной $T = 293$ К. Из уравнения расхода

$$G = \frac{m \cdot P_{скр}^* \cdot F_{скр} \cdot q(\lambda_{кр}^*)}{\sqrt{T^*}},$$

где $m = 0,3965$ для $\kappa = 1,4$ (рабочее тело воздух) и $\lambda = 1$, $q(\lambda_{кр}^*) = 1$, определим площадь среза сопла

$$F_{скр} = \frac{5 \cdot 17,4}{0,3965 \cdot 2,27} = 96,66 \text{ см}^2,$$

что соответствует диаметру среза осесимметричного сопла, равному $d_{скр} = 11,09$ см. Примем диаметр среза сопла $d_{скр} = 110$ мм.

Особенностью разработанного градуировочного стенда является получение газового потока со значениями давления в рабочей камере, соответствующего реальным значениям газового потока по тракту газотурбинного двигателя. Для обеспечения таких условий использовались компрессоры ОК-500, позволяющие получить в рабочей камере стенда давление газа до 4 кгс/см² с расходом воздуха до 6 кг/с.

Для подтверждения правильности полученного профиля сужающегося сопла разработана математическая модель течения газа при разных режимах по расходу газа, которая является универсальной, так как не зависит от числа Маха. В модели турбулентности учитывается влияние эффектов сжимаемости на интенсивность турбулентного смещения. Это влияние проявляется уже при $M > 0,6$.

Результаты.

1. Основные уравнения

Для описания течения газа используется следующая система уравнений, записанных в векторной форме (1):

$$\frac{\partial \mathbf{U}}{\partial t} + \frac{\partial}{\partial x} (\mathbf{E}_C - \mathbf{E}_V) + (\mathbf{F}_C - \mathbf{F}_V) + \frac{\partial}{\partial z} (\mathbf{G}_C - \mathbf{G}_V) = \mathbf{H}, \quad (1)$$

где

$$\mathbf{U} = \begin{pmatrix} \rho \\ \rho u \\ \rho v \\ \rho w \\ \rho E \\ \rho T_1 \\ \vdots \\ \rho T_{Nt} \end{pmatrix}, \quad \mathbf{E}_C = \begin{pmatrix} \rho u \\ \rho u^2 + p \\ \rho uv \\ \rho uw \\ \rho u(E + p/\rho) \\ \rho u T_1 \\ \vdots \\ \rho u T_{Nt} \end{pmatrix},$$

$$\mathbf{F}_C = \begin{pmatrix} \rho v \\ \rho vu \\ \rho v^2 + p \\ \rho vw \\ \rho v(E + p/\rho) \\ \rho v T_1 \\ \vdots \\ \rho v T_{Nt} \end{pmatrix}, \quad \mathbf{G}_C = \begin{pmatrix} \rho w \\ \rho wu \\ \rho wv \\ \rho w^2 + p \\ \rho w(E + p/\rho) \\ \rho w T_1 \\ \vdots \\ \rho w T_{Nt} \end{pmatrix}. \quad (2)$$

В систему входят турбулентные параметры T_1, T_2, \dots, T_{Nt} . Система легко расширяется в случае добавления уравнений переноса энергетических мод и т.д.

$$\mathbf{E}_V = \begin{pmatrix} 0 \\ \tau_{xx} \\ \tau_{xy} \\ \tau_{xz} \\ u\tau_{xx} + v\tau_{xy} + w\tau_{xz} - q_x \\ -g_{1,x} \\ \vdots \\ -g_{Nt,x} \end{pmatrix},$$

$$\mathbf{F}_V = \begin{pmatrix} 0 \\ \tau_{yx} \\ \tau_{yy} \\ \tau_{yz} \\ u\tau_{yx} + v\tau_{yy} + w\tau_{yz} - q_y \\ -g_{1,y} \\ \vdots \\ -g_{Nt,y} \end{pmatrix},$$

$$\mathbf{G}_V = \begin{pmatrix} 0 \\ \tau_{zx} \\ \tau_{zy} \\ \tau_{zz} \\ u\tau_{zx} + v\tau_{zy} + w\tau_{zz} - q_z \\ -g_{1,z} \\ \vdots \\ -g_{Nt,z} \end{pmatrix}. \quad (3)$$

$$\mathbf{H} = (0,0,0,0, S_{T_1}, \dots, S_{T_{Nt}})^T. \quad (4)$$

Вязкие напряжения и потоки:

$$\begin{aligned}\tau_{xx} &= \mu \left(2 \frac{\partial u}{\partial x} - \frac{2}{3} \frac{\partial u}{\partial x} - \frac{2}{3} \frac{\partial v}{\partial y} - \frac{2}{3} \frac{\partial w}{\partial z} \right) = \frac{2}{3} \mu \left(2 \frac{\partial u}{\partial x} - \frac{\partial v}{\partial y} - \frac{\partial w}{\partial z} \right) \\ \tau_{xy} = \tau_{yx} &= \mu \left(\frac{\partial u}{\partial y} + \frac{\partial v}{\partial x} \right), \quad \tau_{xz} = \tau_{zx} = \mu \left(\frac{\partial u}{\partial z} + \frac{\partial w}{\partial x} \right) \quad (5) \\ \tau_{yy} &= \mu \left(2 \frac{\partial v}{\partial y} - \frac{2}{3} \frac{\partial u}{\partial x} - \frac{2}{3} \frac{\partial v}{\partial y} - \frac{2}{3} \frac{\partial w}{\partial z} \right) = \frac{2}{3} \mu \left(2 \frac{\partial v}{\partial y} - \frac{\partial u}{\partial x} - \frac{\partial w}{\partial z} \right) \\ \tau_{yz} = \tau_{zy} &= \mu \left(\frac{\partial v}{\partial z} + \frac{\partial w}{\partial y} \right), \quad \tau_{zz} = \frac{2}{3} \mu \left(2 \frac{\partial w}{\partial z} - \frac{\partial u}{\partial x} - \frac{\partial v}{\partial y} \right) \\ q_x &= -\frac{\mu}{Pr} \frac{\partial h}{\partial x}, \quad q_y = -\frac{\mu}{Pr} \frac{\partial h}{\partial y}, \\ q_z &= -\frac{\mu}{Pr} \frac{\partial h}{\partial z}.\end{aligned} \quad (6)$$

Здесь: ρ — плотность газовой смеси; u, v, w — компоненты скорости; p — давление; τ_{ij} — тензор вязких напряжений; μ — эффективный коэффициент динамической вязкости (учитывает как молекулярный, так и турбулентный перенос); E — полная энергия; q_i — плотность теплового потока, обусловленного теплопроводностью; Pr — эффективное число Прандтля; h — энтальпия; F — площадь сечения струи газа; G — массовый расход газовой смеси.

Уравнение состояния:

$$p = \rho RT, \quad (7)$$

где T — температура; R — газовая постоянная.

2. Моделирование турбулентности

В основную систему входят параметры, характеризующие турбулентность, $T_1, T_2, \dots, T_{N'}$, выбор которых зависит от используемой модели турбулентности.

Стандартные модели турбулентности, разработанные для несжимаемых течений, завышают интенсивность смешения в сжимаемых течениях. Это связано с тем, что эти модели не учитывают влияние сжимаемости на диссипацию. Предполагается, что пульсации давления, возникающие в слое смешения при взаимодействии дозвуковых и сверхзвуковых объемов газа, вызывают дополнительную диссипацию.

Модели турбулентности, разработанные для несжимаемой жидкости, плохо описывают сверхзвуковые сжимаемые течения. Известно, что сжимаемость оказывает стабилизирующее воздействие на турбулентность, уменьшая с ростом скорости интенсивность турбулентного смешения.

В современных задачах авиационной и ракетно-космической техники этот эффект играет важнейшую роль. Например, в гиперзвуковых двигателях замедляется смешение горючего с окислителем. Сжимаемость изменяет характер перехода ламинарного режима течения в турбулентный режим на поверхности спускаемого аппарата при входе в атмосферу.

В данной работе предполагается, что эффект замедления турбулентного смешения с ростом скорости связан с появлением в уравнении турбулентной кинетической энергии дополнительной сжимаемой диссипации, которая зависит от турбулентного числа Маха и происходит на мелкомасштабном уровне.

В литературе имеется несколько различных подходов к учету сжимаемости.

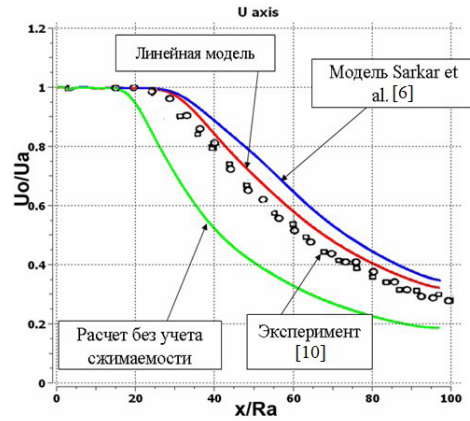


Рис. 1. Осевое распределение скорости в струе $M_a = 3$

В работе [6] при использовании $k-\varepsilon$ модели турбулентная вязкость считается по формуле (8), а в уравнение переноса k добавляется отрицательный источник (9).

$$\mu_t = C_\mu \rho k^2 / \left[(1 + M_t^2) \varepsilon \right]. \quad (8)$$

$$S_t = -\rho M_t^2 \varepsilon. \quad (9)$$

В работе [7] поправка на сжимаемость учитывается в коэффициенте $C_{\varepsilon 2}$.

$$C'_{\varepsilon 2} = \frac{C_{\varepsilon 2}}{1 + 1,6 M_t^2}. \quad (10)$$

Zeman [8] предложил учитывать эффекты сжимаемости в полной диссипации. Его поправки можно представить в виде аналогичном работы [6]:

$$\varepsilon_c = [1 + 1,75 F(M_t)] \varepsilon, \quad (11)$$

где $F(M_t) = 1 - \exp\left\{-\left[\frac{(M_t - 0,1)}{0,6}\right]^2\right\}$, $F(M_t) = 0$ при $M_t < 0,1$.

Поправки на сжимаемость в этих работах имеют квадратичную зависимость от M_t и дают в расчетах близкие результаты.

В работе [9] предложена линейная зависимость поправок от M_t . Основные формулы данной работы основаны на [9] и имеют вид:

$$\mu_t = C_\mu \rho k^2 / \left[(1 + 0,29 M_t) \varepsilon \right], \quad (12)$$

а в уравнение переноса k , соответственно, добавлен отрицательный источник

$$S_t = -0,29 \rho M_t \varepsilon. \quad (13)$$

Будем в дальнейшем называть эту модель линейной. На рис. 1 показано распределение скорости вдоль оси холодной струи воздуха $M_a = 3$ и $p_a/p_e = 1$. При расчете с использованием стандартной $k-\varepsilon$ модели турбулентности длина струи получается существенно меньше по сравнению с экспериментальными данными [10]. При использовании модели турбулентности Саркара [6] и модели автора получается неплохое совпадение с экспериментальными данными, хотя в первом случае длина струи получается несколько завышенной по сравнению с экспериментом.

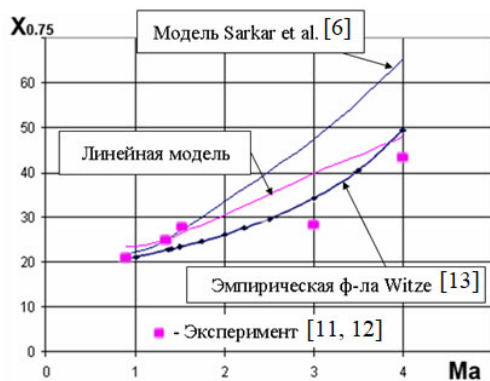


Рис. 2. Зависимость координаты $\bar{X}_{0,75}$ от числа Маха на срезе сопла

Подобные результаты получаются и при исследовании других высокоскоростных струй.

Для оценки интенсивности смешения струй с окружающим пространством при $p_a/p_e = 1$ удобно использовать продольную координату $\bar{X}_{0,75}$, при которой осевая скорость составляет 75 % скорости на срезе сопла. Координата $\bar{X}_{0,75}$ удобнее, чем длина начального участка, которую довольно трудно определить с достаточной точностью.

На рис. 2 представлена зависимость координаты $\bar{X}_{0,75}$ от числа M_a при отношении плотностей $p_e/p_a = 1$. Для сравнения используются экспериментальные данные из работ [11, 12], а также эмпирическая формула, полученная в работе [13] на основе обобщения большого числа экспериментальных данных:

$$\frac{U_o}{U_a} = 1 - \exp\left(\frac{1}{X_C - K\bar{X}\left(\frac{\rho_e}{\rho_a}\right)^{0,5}}\right). \quad (14)$$

Координата ядра X_C принимается равной 0,7, функция K равна [14]:

$$K = 0,08(1 - 0,16M_a)\left(\frac{\rho_e}{\rho_a}\right)^{-0,22}. \quad (15)$$

Анализ результатов показывает, что линейная модель удовлетворительно аппроксимирует результаты экспериментов. Модель Саркара [6] существенно завышает длину струи при $M_a > 3$.

Поэтому в дальнейших расчетах использовалась линейная модель турбулентности, основанная на использовании формул (12), (13).

Для численного решения использовался неявный метод, основанный на конечно-объемном представлении системы (1) для q -ой ячейки сетки:

$$V_q \frac{\partial \mathbf{U}_q}{\partial t} = -\sum_{j \in q} (\bar{\mathbf{F}}_{C,j} - \bar{\mathbf{F}}_{V,j}) \cdot \bar{\mathbf{n}}_j s_j + V_q \mathbf{H}_q, \quad (16)$$

где $\bar{\mathbf{F}}_C = E_C \bar{\mathbf{i}} + F_C \bar{\mathbf{j}} + G_C \bar{\mathbf{k}}$ — вектор невязкого потока (через поверхность); $\bar{\mathbf{F}}_{C,j}$ — вектор невязкого потока через j -ую грань;

$\bar{\mathbf{F}}_V = E_V \bar{\mathbf{i}} + F_V \bar{\mathbf{j}} + G_V \bar{\mathbf{k}}$ — вязкий поток;

V_q — объем q -ой ячейки сетки;

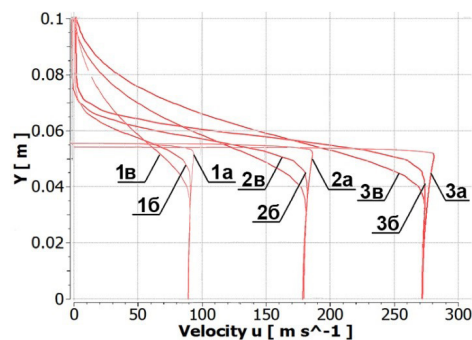


Рис. 3. Продольная скорость на срезе сопла (1 — $G = 1,2989$ кг/с; 2 — $G = 2,7071$ кг/с; 3 — $G = 4,4125$ кг/с; а — распределение параметров на срезе сопла; б — распределение параметров на расстоянии $X = 2Ra$ от среза; в — распределение параметров на расстоянии $X = 5Ra$ от среза)

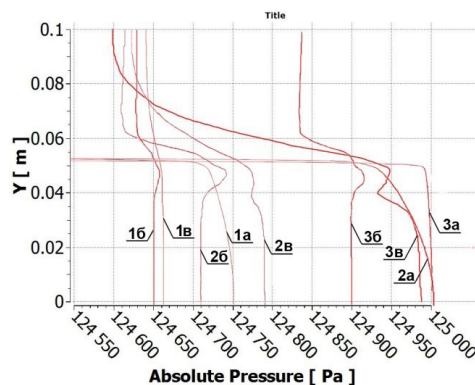


Рис. 4. Статическое давление (1 — $G = 1,2989$ кг/с; 2 — $G = 2,7071$ кг/с; 3 — $G = 4,4125$ кг/с; а — распределение параметров на срезе сопла; б — распределение параметров на расстоянии $X = 2Ra$ от среза; в — распределение параметров на расстоянии $X = 5Ra$ от среза)

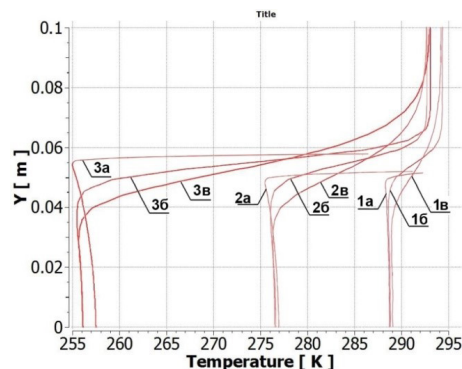


Рис. 5. Статическая температура (1 — $G = 1,2989$ кг/с; 2 — $G = 2,7071$ кг/с; 3 — $G = 4,4125$ кг/с; а — распределение параметров на срезе сопла; б — распределение параметров на расстоянии $X = 2Ra$ от среза; в — распределение параметров на расстоянии $X = 5Ra$ от среза)

$\bar{\mathbf{n}}_j$ — вектор нормали к j -ой грани, направленный наружу по отношению к q -ой ячейке сетки;

s_j — площадь поверхности j -ой грани.

Суммирование $\sum_{j \in q}$ производится только по граням, прилегающим к q -ой ячейке сетки. В качестве основных параметров газовой струи рассматриваются: продольная скорость, радиальная скорость, статическое давление, статическая температура, температура торможения, турбулентная кинетическая энергия.

В результате использования предложенной математической модели течения газа были получены распределения основных параметров на срезе сопла и расстояниях $X=2Ra$ и $X=5Ra$ от среза сопла для трех режимов работы стенда:

1. Режим 1 с $G = 1,2989$ кг/с;
2. Режим 2 с $G = 2,7071$ кг/с;
3. Режим 3 с $G = 4,4125$ кг/с.

На рис. 3–5 в качестве примера представлены в графическом виде результаты расчета продольной скорости, статического давления и статической температуры. Аналогичные результаты были получены и для значений таких параметров газовой струи, как радиальная скорость, температура торможения, турбулентная кинетическая энергия.

Обсуждение полученных результатов. Необходимость разработки математической модели течения газа для градуировочного стенда приёмников полного и статического давлений связана с возможностью достаточно точно прогнозировать основные параметры контролируемого газового потока внутри стенда без создания опытных экземпляров и проведения дорогостоящих испытаний, т.е. можно на этапе проектирования внести необходимые изменения, например, в профиль дозвукового сопла, и получить стенд с прогнозируемыми основными параметрами [15].

Выводы

1. Стандартные модели турбулентности существенно завышают напряжение трения в слое смешения высокоскоростных потоков, что приводит к более быстрому смещению по сравнению с экспериментальными данными

2. Наилучшее совпадение с экспериментальными данными получено при использовании предлагаемой модели турбулентности. Она позволяет получить хорошее совпадение с экспериментом как для сверхзвуковых струй, так и для высокоскоростных слоев смешения сжимаемых потоков.

3. Разработана математическая модель течения контролируемого газового потока, создаваемого для градуировки приемников статического и полного давлений.

4. Полученные результаты расчетов основных параметров контролируемого газового потока позволяют до процесса аттестации градуировочного стенда выявить картину течения и распределения этих параметров по радиусу и длине струи для трех режимов по величине расхода газа.

Библиографический список

1. Захаров Д. Л. Отработка методики измерений полей скоростей и концентраций с помощью PIV в течениях, характерных для газотурбинных двигателей // Труды МАИ. 2011. № 45. URL: <http://trudymai.ru/published.php?ID=25391> (дата обращения: 01.03.2022).
2. Афанасьев В. А., Монахова В. П., Мухина С. Д. [и др.]. Разработка экспериментальных средств для градуировки приемников давлений // Труды МАИ. 2017. № 95. URL: https://elibrary.ru/download/elibrary_30047795_82021920.pdf25391 (дата обращения: 01.03.2022).
3. Афанасьев В. А., Монахова В. П., Мухин А. Н., Заранкевич И. А., Назырова О. Р., Версин А. А. Разработка системы позиционирования для обеспечения точности угловых и линейных перемещений // Вестник метролога. 2019. № 3. С. 5–9.
4. Дейч М. Е. Техническая газодинамика. 3-е изд., перераб. Москва: Энергия, 1974. С. 583–589.
5. Виноградов. Л. В., Лотфулин Ш. Р. Исследование геометрических параметров сопла с контуром Витошинского //

Вестник Российского университета дружбы народов. Серия: Инженерные исследования. 2004. № 2 (9). С. 44–49.

6. Sarkar S., Erlebacher G., Hussaini M. Y., Kreiss H. O. The analysis and modelling of dilatational terms in compressible turbulence // Journal of Fluid Mechanics. 1991. Vol. 227. P. 473–493.
7. El Baz A. M. Modelling compressibility effects on free turbulent shear flows // 5th Biennial Coll. on Comput. Fluid Dynamics. UMIST, UK. 1992. 1 эл. опт. диск (CD-ROM).
8. Zeman O. Dilatation dissipation: the concept and application in modeling compressible mixing layers // Phys. Fluids. 1990. Vol. 2, no. 2. P. 178–188.
9. Глебов Г. А., Молчанов А. М. Модель турбулентности для расчета высокоскоростных реагирующих струй // Исследование теплообмена в летательных аппаратах. Москва: Изд-во МАИ, 1982. С. 6–11.
10. Теория турбулентных струй / Под ред. Г. Н. Абрамовича. Москва: ЭКОЛИТ, 1984. 720 с.
11. Lau J. C., Morris P. J., Fisher M. J. Measurements in subsonic and supersonic free jets using a laser velocimeter // Journal of Fluid Mechanics. 1979. Vol. 63, Part 1. P. 1–27. DOI: 10.1017/S0022112079001750.
12. Pergament H. S., Sinha N., Dash S. M. Hybrid Two-Equation Turbulence Model for High Speed Propulsive Jets. 1986. DOI: 10.2514/6.1986-1723.
13. Witze P. O. Centerline velocity decay of compressible free jets // AIAA Journal. 1974. Vol. 12 (4). P. 417–418.
14. Ewan B. C. R., Moodie K. Structure and Velocity Measurements in under Expanded Jets // Combustion Science and Technology. 1986. Vol. 45. P. 275–288.
15. Босняков С. М., Власенко В. В., Горбушен А. Р. [и др.]. Математическая модель Европейской аэродинамической трубы (ETW) и опыт ее применения // Труды МФТИ. 2011. Т. 3, № 4. URL: https://mipt.ru/upload/295/Pages_97-107_from_trudy3_4_final_3nov_morning-12-arphx11tgs.pdf (дата обращения: 01.03.2022).

ВЕРСИН Александр Андреевич, аспирант кафедры 207 «Метрология, стандартизация и сертификация» Московского авиационного института (Национальный исследовательский университет) (МАИ), г. Москва.

МОЛЧАНОВ Александр Михайлович, доктор технических наук, доцент (Россия), профессор кафедры 204 «Авиационно-космическая теплотехника» МАИ, г. Москва.

SPIN-код: 5756-8635

AuthorID (РИНЦ): 549037

AuthorID (SCOPUS): 55662006700

ORCID: 0000-0002-0666-7143

МОНАХОВА Вероника Павловна, кандидат технических наук, доцент (Россия), директор института № 2 «Авиационные, ракетные двигатели и энергетические установки» МАИ, г. Москва.

AuthorID (РИНЦ): 387542

АФАНАСЬЕВ Владимир Алексеевич, доктор технических наук, доцент (Россия), профессор кафедры 207 «Метрология, стандартизация и сертификация» МАИ, г. Москва.

Адрес для переписки: vaa96@mail.ru

Для цитирования

Версин А. А., Молчанов А. М., Монахова В. П., Афанасьев В. А. Разработка математической модели течения газа для градуировочного стенда приёмников полного и статического давления // Омский научный вестник. 2022. № 3 (183). С. 117–121. DOI: 10.25206/1813-8225-2022-183-117-121.

Статья поступила в редакцию 14.03.2022 г.

© А. А. Версин, А. М. Молчанов, В. П. Монахова,

В. А. Афанасьев